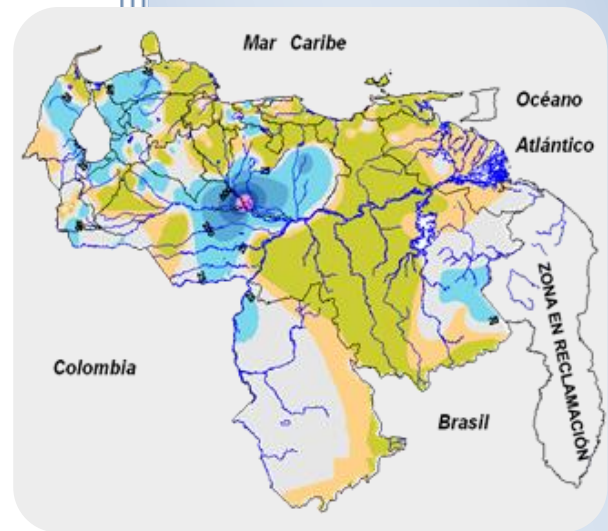




BOLETÍN CLIMATOLÓGICO MENSUAL



FEBRERO 2015



BOLETÍN CLIMATOLÓGICO FEBRERO 2015

El presente boletín climatológico ha sido elaborado por la Coordinación de Meteorología Aplicada y la Coordinación de Estudios e Investigación de Clima del Instituto Nacional de Meteorología e Hidrología (INAMEH), sintetiza toda la información del mes de Febrero de 2015 respecto a las condiciones atmosféricas regionales y locales, describiendo el comportamiento de la variable meteorológica precipitación al relacionarla con su promedio y de la temperatura mensual; además mantiene una vigilancia de la evolución del clima a escala regional y local.

Los datos utilizados para su realización provienen de las estaciones meteorológicas del INAMEH, Ministerio del Poder Popular para el Ambiente (MINAMB), Servicio de Meteorología de la Aviación (SERMETAVIA), CVG Electrificación del Caroní, C.A. (CVG EDELCA), Earth System Research Laboratory de la NOAA; EEUU y el Department of Environment and Resource Management de Queensland, Australia.

1.- CONDICIONES ATMOSFÉRICAS REGIONALES

1.1.- MODOS DE VARIABILIDAD DEL CLIMA CON INFLUENCIA DEMOSTRADA EN VENEZUELA

Sinopsis de las condiciones observadas en el Pacífico Ecuatorial durante el mes de febrero. **Existe más de 60% de probabilidad de que condiciones características de eventos El Niño se mantengan al menos durante el primer semestre de 2015.**

Durante el mes de febrero, continuó observándose anomalías positivas de temperatura de la superficie del mar por encima de $+0,5^{\circ}$ C en el Pacífico occidental durante todo el mes, en tanto que en el extremo oriental, prevalecieron anomalías dentro del rango de condiciones neutrales, **Tabla 1.**

Condiciones típicas de eventos El Niño de débil intensidad emergieron durante el mes, caracterizado por un débil acoplamiento océano – atmósfera. La anomalía del contenido



de calor por debajo de la superficie del mar, hasta unos 300 metros se incremento notablemente a partir de la primera quincena de enero, tendencia que se mantuvo durante febrero, llegando a registrarse una anomalía de casi 1,0° C al final del mes. Esto motivado por la propagación hacia el este de una fase cálida de una onda de Kelvin en el Pacífico ecuatorial.

En niveles bajos de la atmósfera, se observó un incremento de las anomalías de oeste en el extremo occidental del Pacífico ecuatorial, **Figura 3**. En tanto que en niveles altos, persistieron anomalías del este en el Pacífico central y oriental. La convección observada estuvo dentro de lo normal cerca de la Línea Internacional de la Fecha y por encima de lo normal en el extremo occidental del Pacífico ecuatorial, **Figura 7**. Así mismo, el índice de Oscilación del Sur mantuvo valores negativos durante la mayor parte del mes, **Figura 1**. Bajo este contexto, los indicadores muestran condiciones características de un evento El Niño que está empezando a tener una respuesta atmosférica más clara.

La información consultada indica que la probabilidad que condiciones típicas de un evento El Niño de débil intensidad se mantengan durante los próximos meses superan el 60% durante el periodo febrero - abril. Manteniéndose por encima de 50% al menos hasta el mes de diciembre.

Fecha	Nino1+2	Nino3	Nino3.4	Nino4
04-feb-15	-0,5	0,1	0,5	0,9
11-feb-15	-0,8	0,3	0,5	0,9
18-feb-15	-0,1	0,3	0,5	1,0
25-feb-15	-0,1	0,1	0,6	1,2

Tabla 1. Anomalía semanal de la temperatura (° C) de la superficie del mar en las regiones NIÑO centrada en la fecha indicada. Fuente: Climate Prediction Center, NOAA.

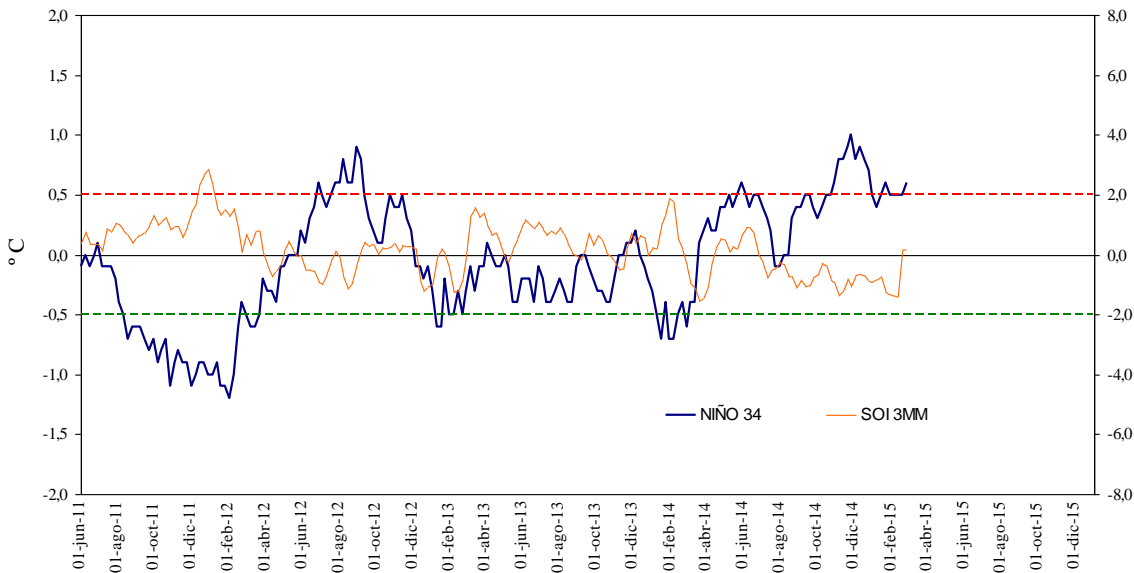


Figura 1. Anomalia semanal de la temperatura de la superficie del mar en la región Niño 3.4 y media móvil trimestral del Índice de Oscilación del Sur. Valores de anomalia de temperatura en la región Niño 3.4 localizados en el rango de $-0,5^{\circ}\text{C}$ y $+0,5^{\circ}\text{C}$ se consideran normales. Valores del Índice de Oscilación del Sur cercanos a cero indican condiciones normales en la circulación Walker del Pacifico Central y Occidental. Fuente: Climate Prediction Center, NOAA y el Department of Environment and Resource Management, Australia.

Anomalia de presión atmosférica en Tahití y Darwin
Media móvil trimestral

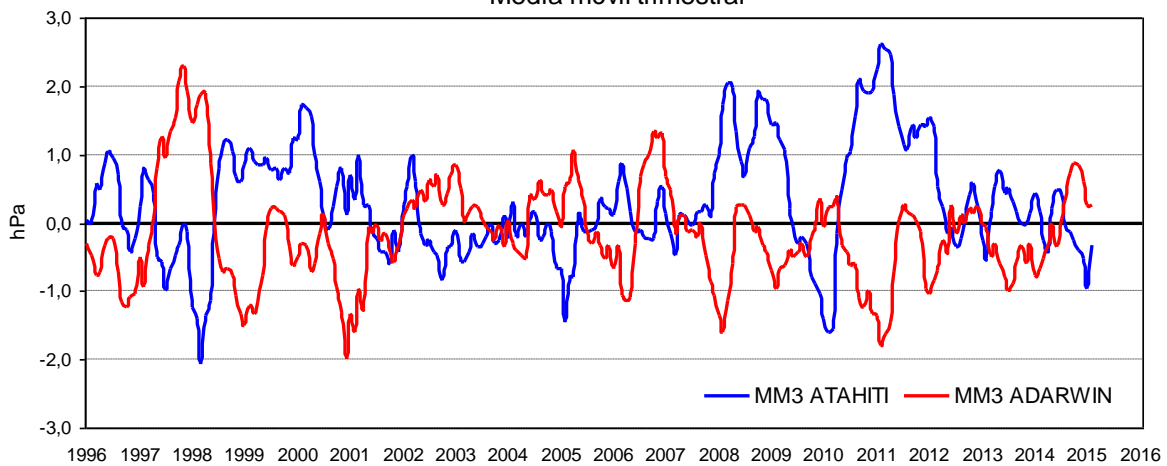
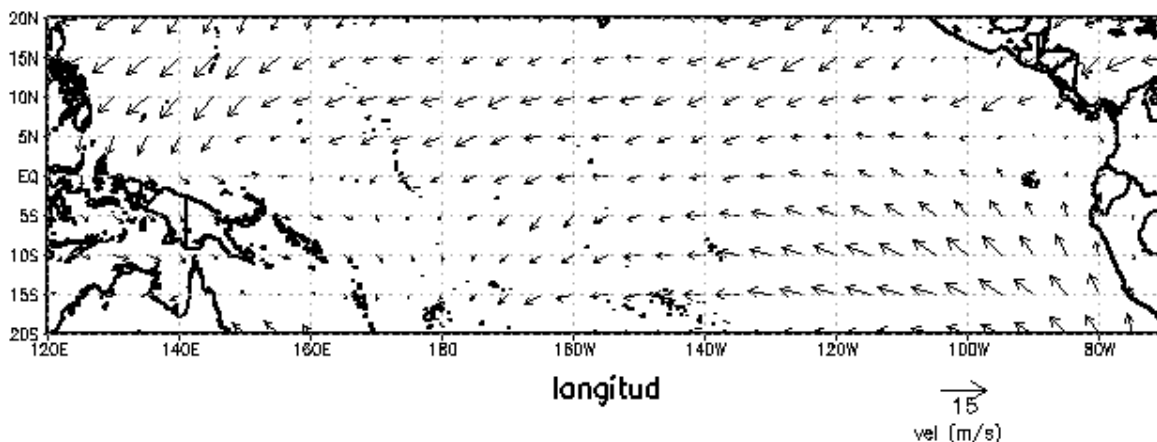


Figura 2. Anomalia de presión atmosférica en superficie, media móvil trimestral en Tahití y Darwin. Fuente: Department of Environment and Resource Management, Australia.

INAMEH VIENTO 1000 hPa FEB 2014



ANOMALIA

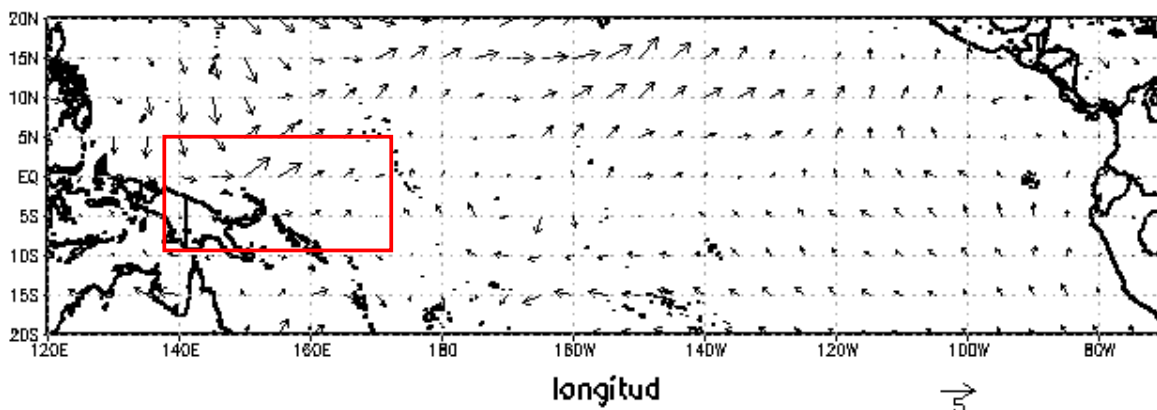


Figura 3. Anomalía de velocidad y dirección del viento en 1000 hPa.

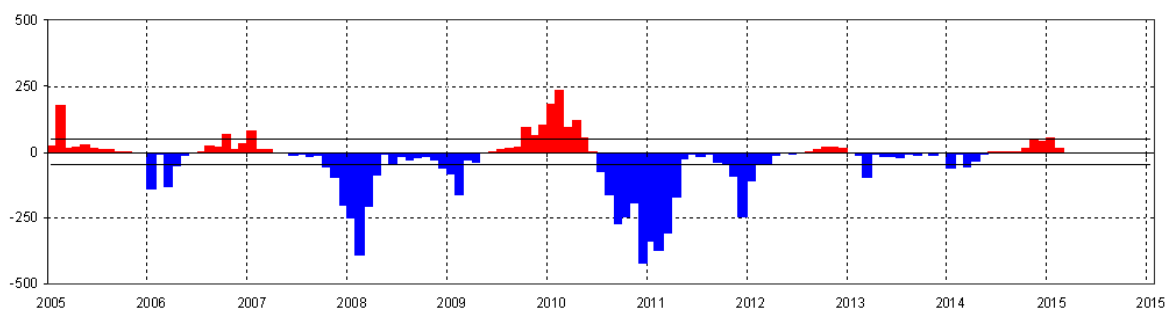


Figura 4. Índice semanal de ocurrencia de eventos ENOS. Valores del Índice de Ocurrencia de eventos ENOS localizados en el rango de -48 y +48 se consideran normales. Fuente: Instituto Nacional de Meteorología e Hidrología.

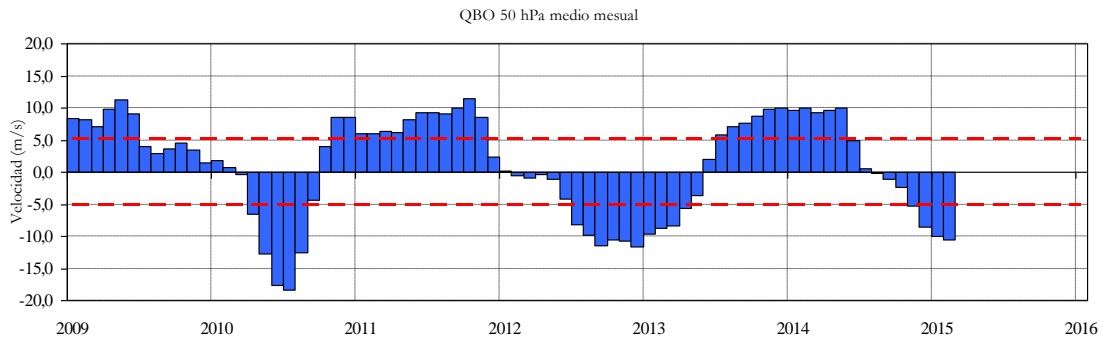


Figura 5. Anomalia del índice de viento zonal en 50 hPa, utilizado para hacer seguimiento de la Oscilación Cuasi-Bienal. Valores positivos de velocidad indican velocidades del oeste y negativos del este. Velocidades del viento entre -5,05 y 5,05 m/s se consideran velocidades bajas, en tanto que fuera de este rango se consideran velocidades altas. Fuente: NCEP Climate Data Assimilation System (CDAS).

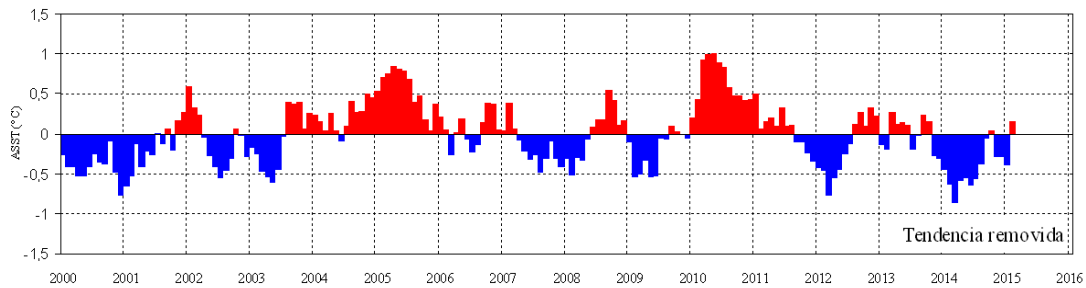


Figura 6. Anomalia de temperatura del mar, región del Atlántico Tropical (10-20N y 55-30W)

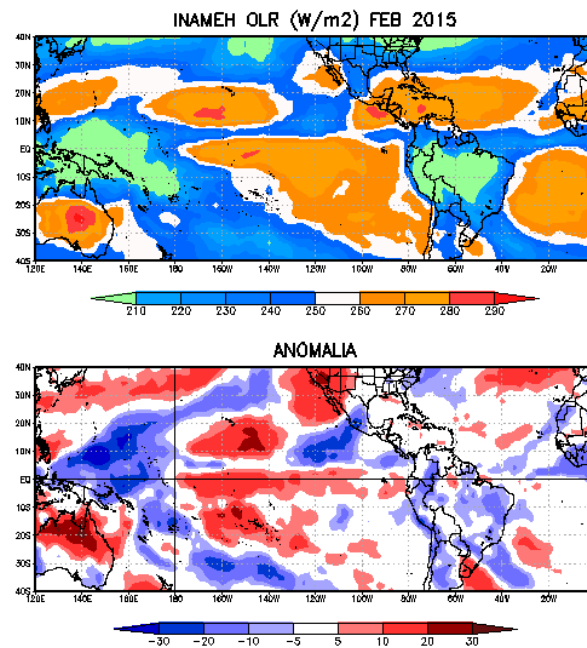
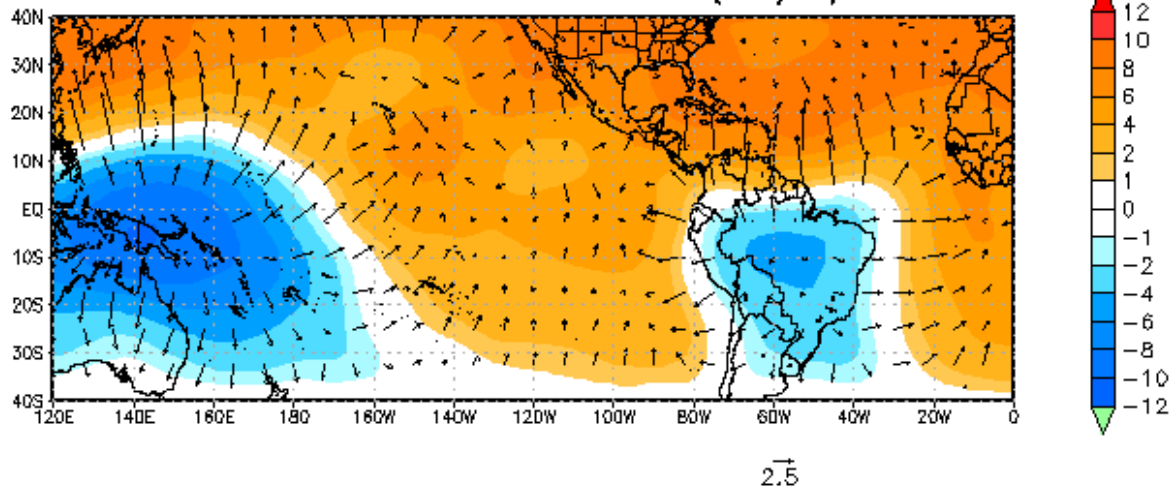


Figura 7. Radiación de Onda Larga Saliente (OLR) medio mensual (superior) y anomalía. Valores de $OLR \leq 250 \text{ W/m}^2$ en la zona tropical indican presencia de nubes de gran desarrollo vertical y actividad convectiva. Anomalías negativas indican valores de OLR menores (mayores) a lo normal, lo que se relaciona con más (menos) actividad convectiva de lo normal.

POTENCIAL DE VELOCIDAD 200 hPa (M2/S) FEB 2015



ANOMALIA

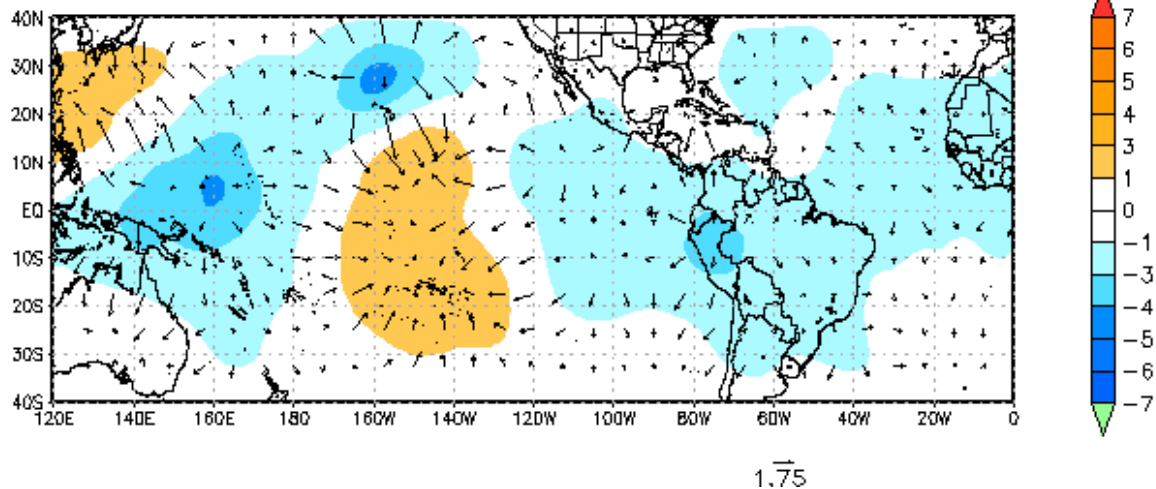


Figura 8. Potencial de velocidad (contorno) y vectores de viento divergente en 200 hPa medio mensual (superior) y anomalía. Valores negativos de potencial de velocidad con vectores “salientes” indican zonas donde los movimientos verticales son ascendentes, en tanto que valores positivos de potencial de velocidad y vectores “entrantes” corresponde a zonas donde los movimientos verticales son descendentes. Anomalías negativas (positivas) indican movimientos verticales ascendentes (descendentes) más intensos de lo normal, cuya dirección está expresada por los vectores.



INAMEH CIRC.MER DIV. MEDIA Y U MEDIO FEB 2015

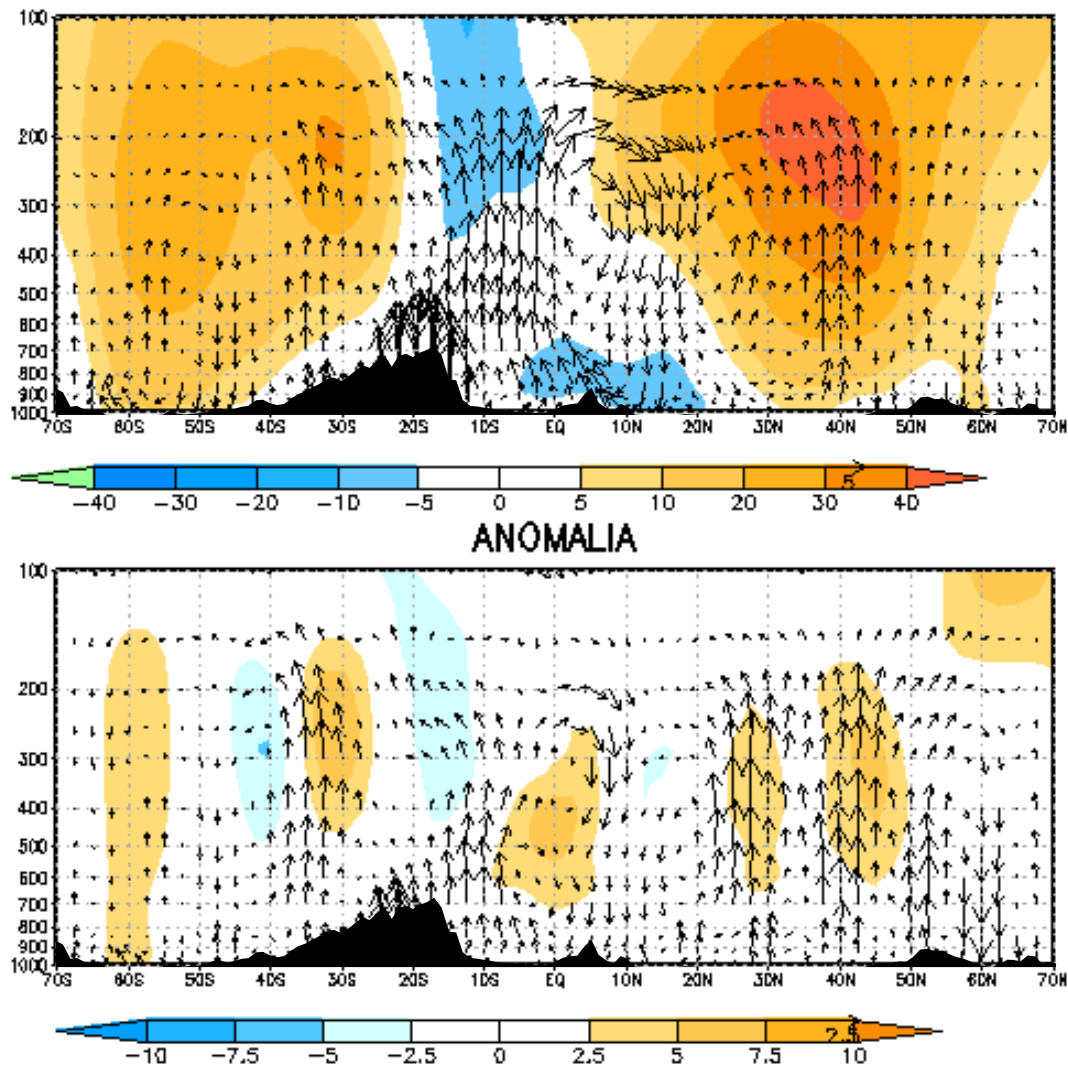


Figura 9. Vectores de circulación meridional y viento zonal (contornos) promedio entre 75°W y 50°W. Media mensual (superior) y anomalía. Valores positivos del viento zonal corresponden a viento del oeste (naranja) y los negativos a viento del este (azul), lo mismo aplica para las anomalías. Los vectores describen las estructura dinámica meridional de la atmósfera sobre Venezuela, donde los vectores ascendentes (apuntan hacia “arriba”) corresponden a zonas donde se espera mayor desarrollo de nubes y los descendentes (apuntan hacia “abajo”) a zonas donde existe subsidencia y poco desarrollo de nubes.

INAMEH CIRC.ZON DIV. MEDIA Y DIV. MEDIA FEB 2015

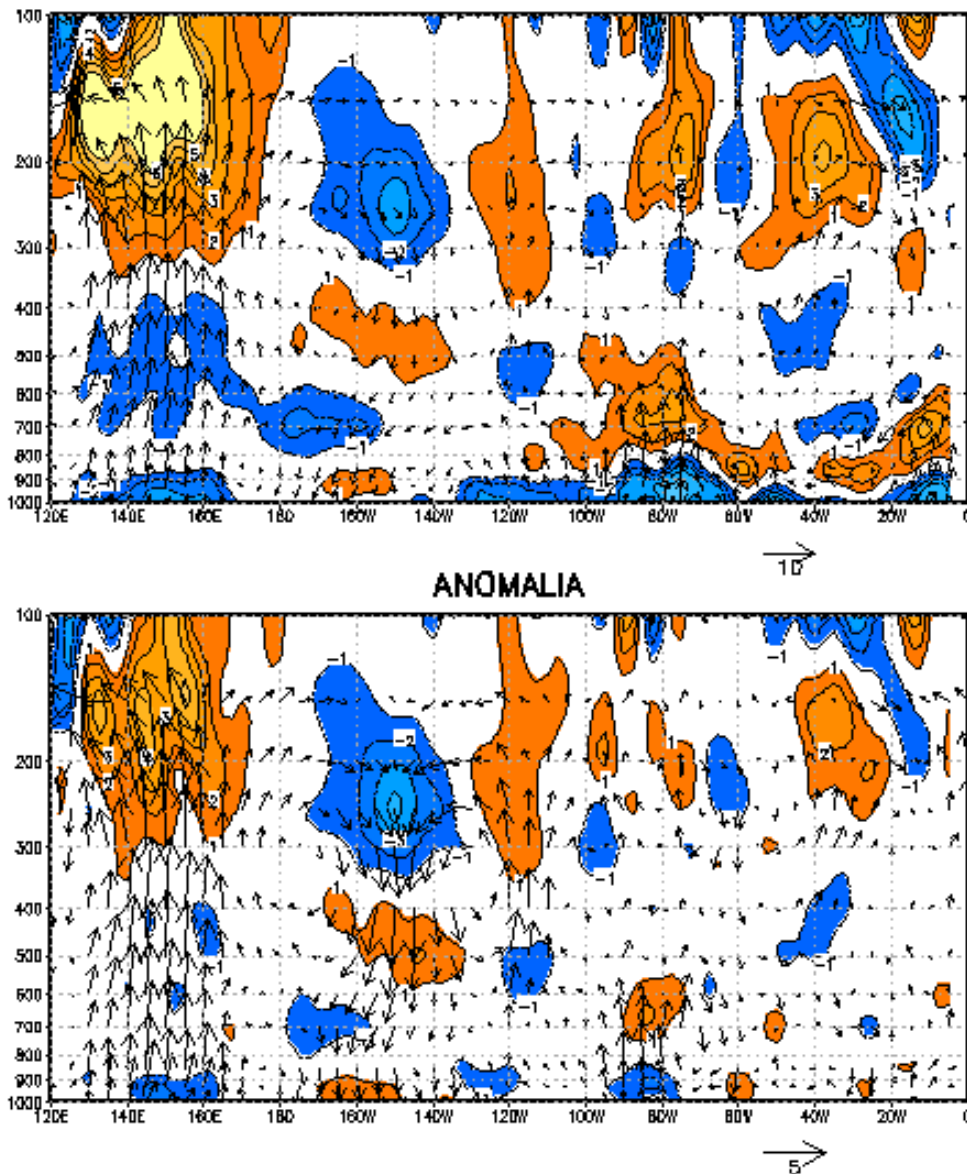


Figura 10. Vectores de circulación zonal y divergencia meridional (contornos) promedio entre 0° y 15°N. Media mensual (superior) y anomalía. Valores positivos (naranja) de la divergencia meridional corresponden a zonas donde existe divergencia y los negativos a convergencia (azul), lo mismo aplica para las anomalías. Los vectores describen las estructura dinámica zonal de la atmósfera, donde los vectores ascendentes (apuntan hacia “arriba”) corresponden a zonas donde se espera mayor desarrollo de nubes y los descendentes (apuntan hacia “abajo”) a zonas donde existe subsidencia y poco desarrollo de nubes.

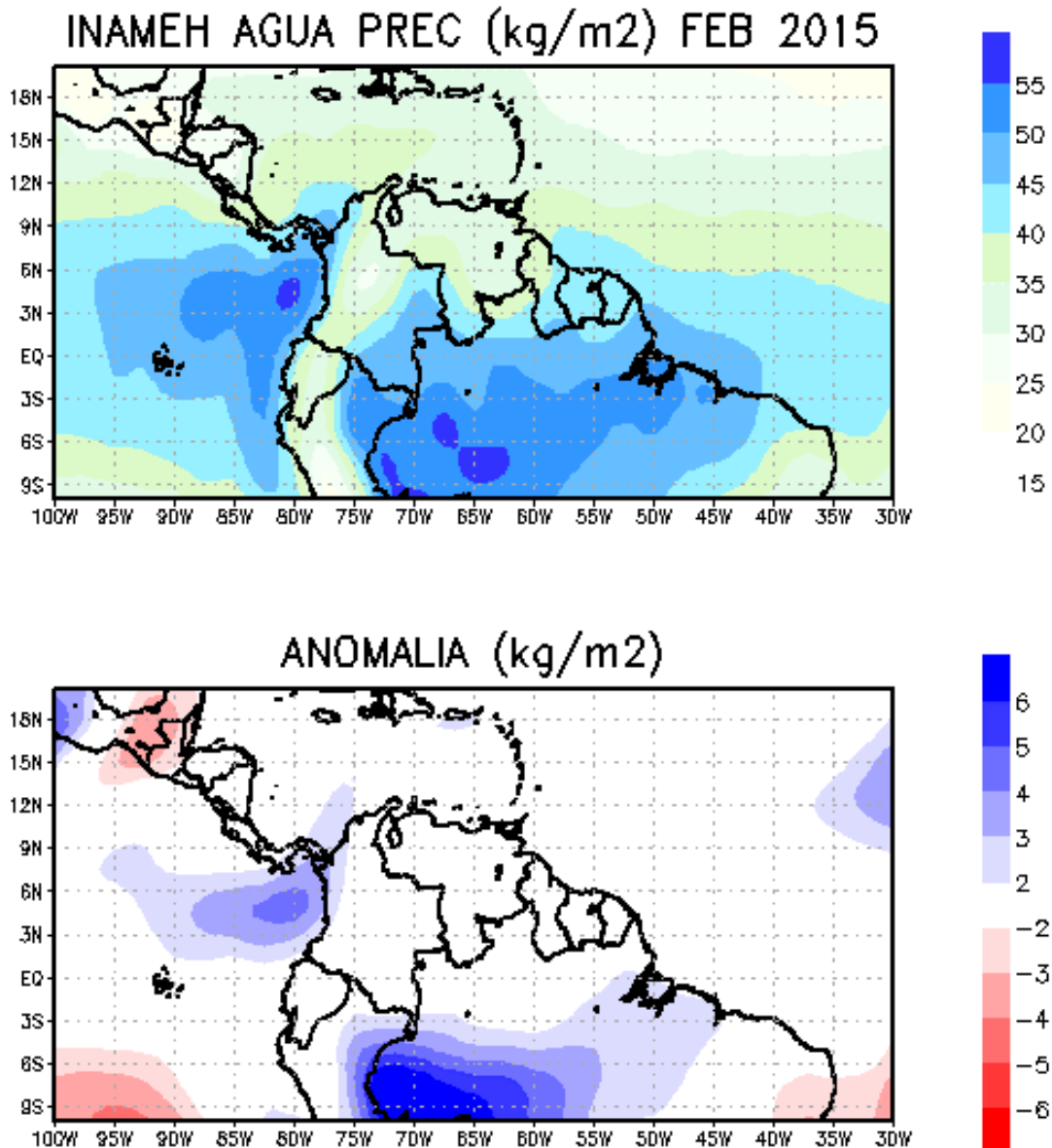
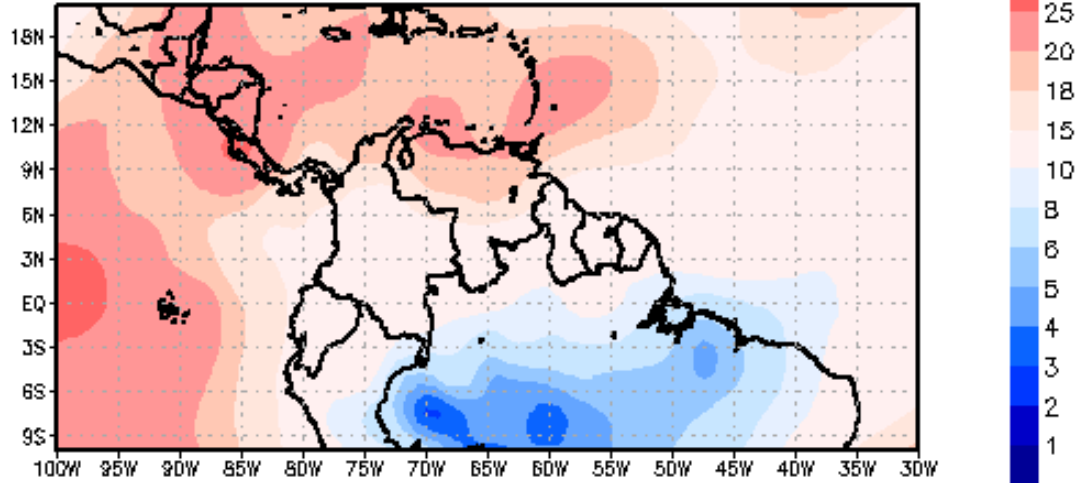


Figura 11. Agua precipitable, representa el agua contenida en forma de vapor en una columna de aire susceptible a precipitarse. Media mensual (superior) y anomalía. Valores positivos de la anomalía (azul) indican mayor cantidad de agua precipitable.



INAMEH DD_500 (C) 500 hPa FEB 2015



ANOMALIA (C)

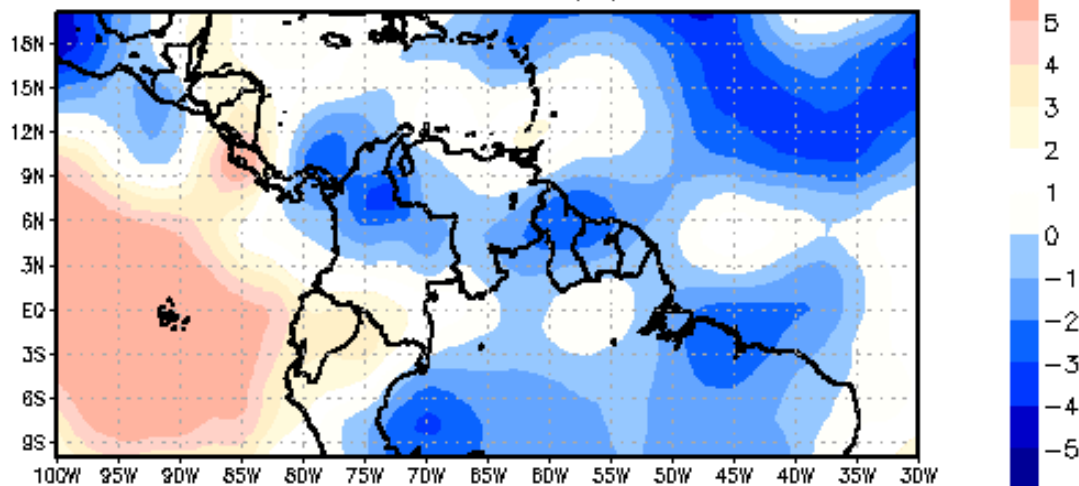
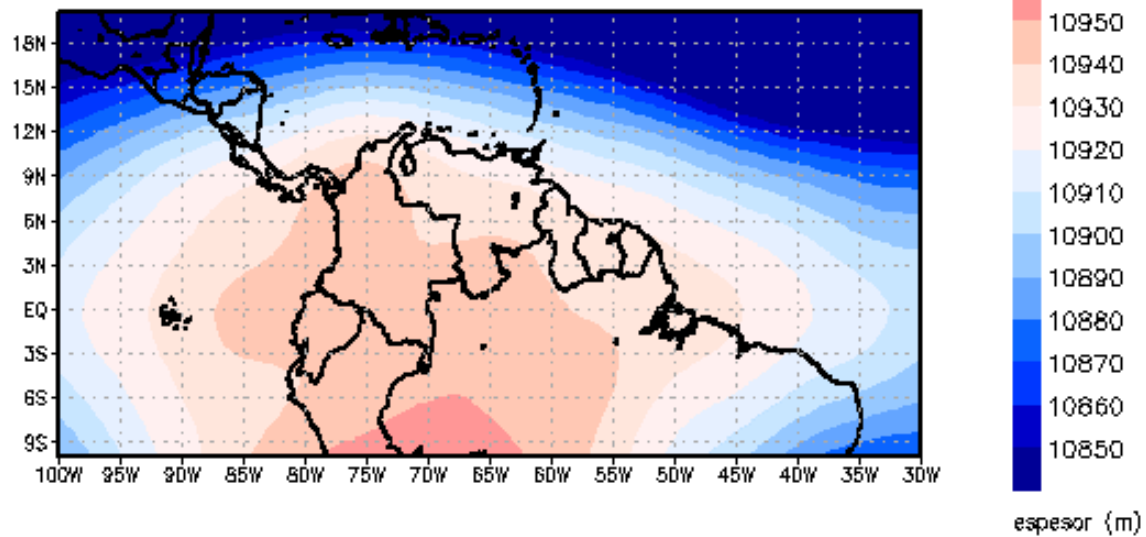


Figura 12. Diferencia entre T y Td en 500 hPa. Media mensual (superior) y anomalía. Expresa el contenido de humedad en 500 hPa; entre menor es el valor observado menor es la diferencia entre T y Td, por lo que mayor será el contenido de humedad. Lo mismo aplica para las anomalías.



INAMEH ESPESOR 850-200 hPa FEB 2015



ANOMALIA (m)

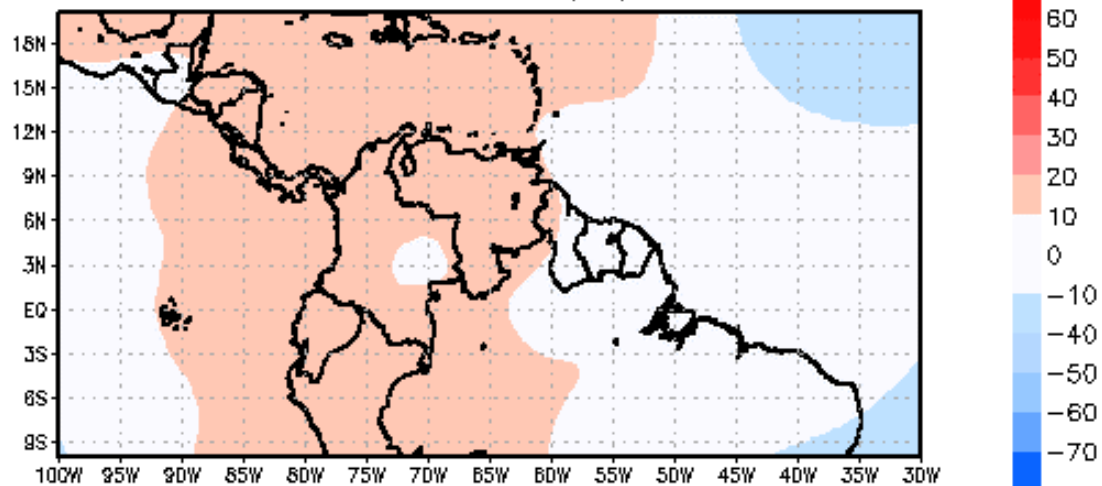
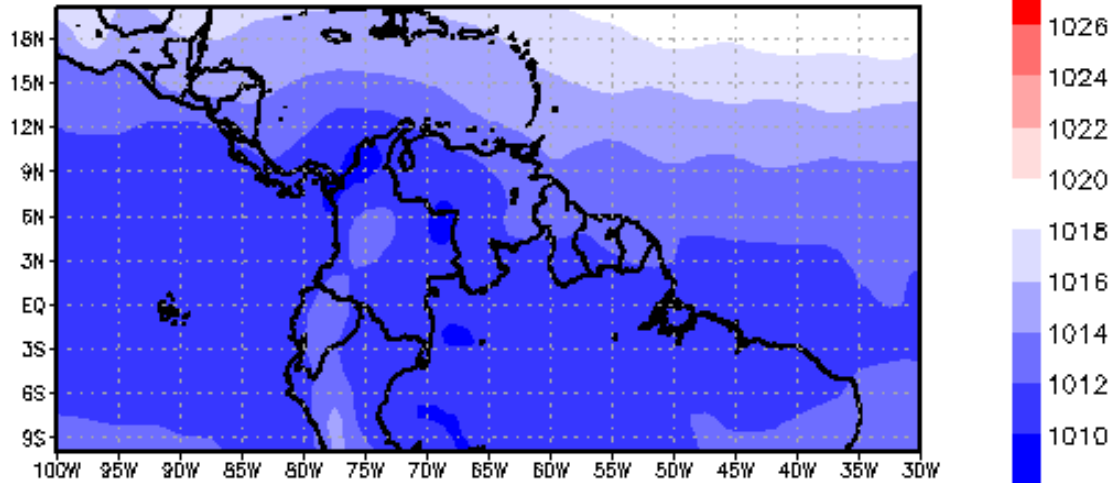


Figura 13. Espesor entre 850 y 200 hPa. Media mensual (superior) y anomalía. Anomalías negativas indican zonas con espesores menores de lo normal.



INAMEH PRESION SUP hPa FEB 2015



ANOMALIA

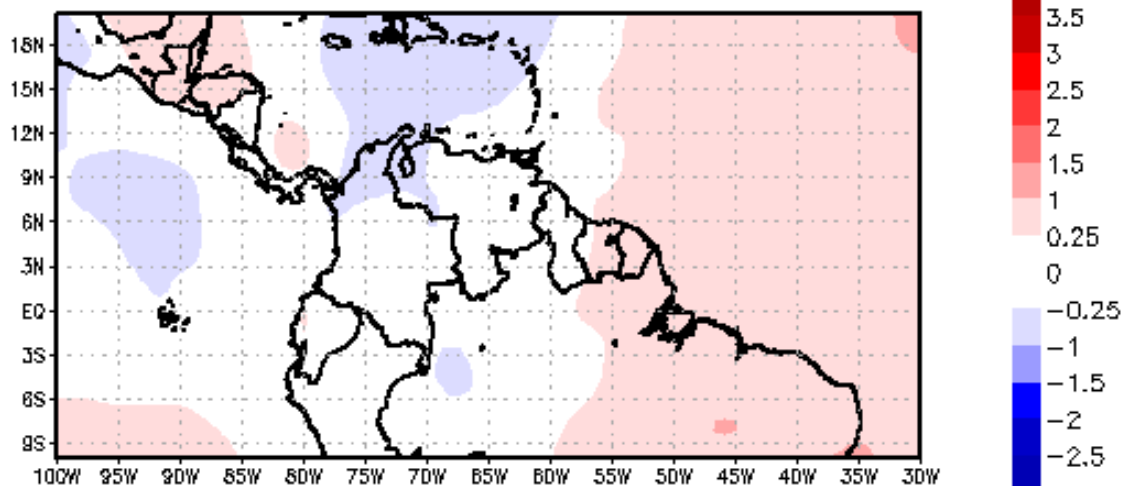


Figura 14. Presión atmosférica en superficie media estimada (superior) y anomalía. Valores negativos de anomalía (azul) indican presión atmosférica por debajo de lo normal, valores positivos (rojo) indican presión atmosférica por encima de lo normal.

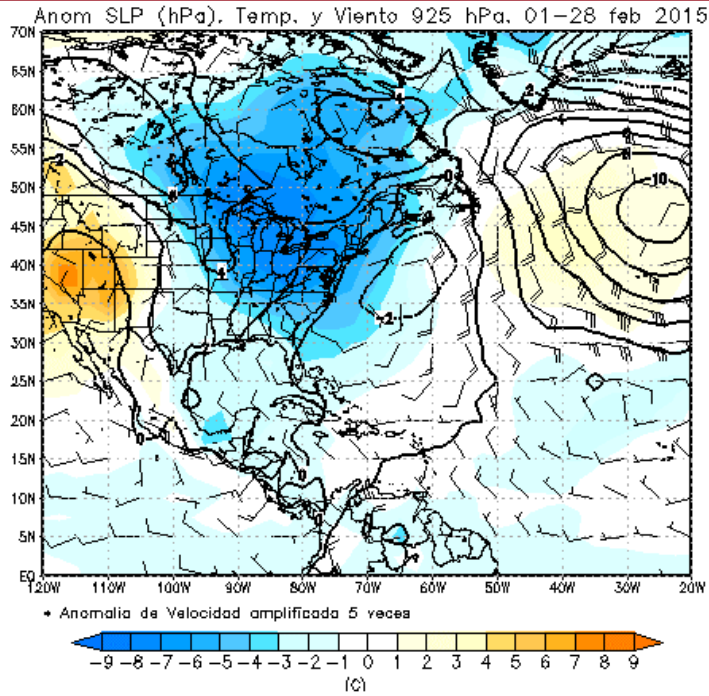


Figura 15. Anomalías de Presión atmosférica en superficie (líneas negras), viento y temperatura en 925 hPa. Valores negativos de anomalía (azul) indican temperatura por debajo de lo normal, valores positivos (naranja) indican temperatura por encima de lo normal.

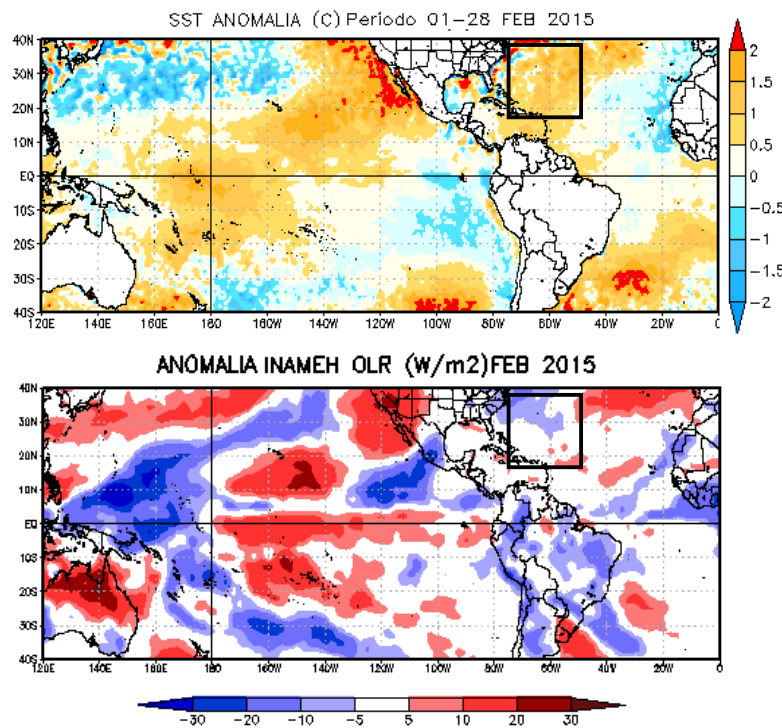


Figura 16. Anomalías de temperatura de la superficie del mar ASST (superior) y de OLR. Valores de ASST más cálidas (naranja) y más frías (azul). Anomalías negativas (positivas) indican valores de OLR menores (mayores) a lo normal, lo que se relaciona con más (menos) actividad convectiva de lo normal.



ANÁLISIS

Durante el mes de febrero se observaron anomalías de temperatura de la superficie del mar en la región occidental del Pacífico Ecuatorial que excedieron de $+0,5^{\circ}\text{C}$ (Niño 4), en tanto que anomalías negativas se registraron en el extremo oriental (Niño 1+2), **Tabla 1**. El índice Niño 3.4 estuvo en el límite entre condiciones neutrales y de eventos ENOS de calentamiento, registrando una anomalía de $+0,6^{\circ}\text{C}$ durante la última semana del mes (**Figura 1**).

El índice SOI permaneció con valores negativos durante la mayor parte del mes, **Figura 1**; aunque en la última semana el índice mostró valores positivos. Aun así el valor observado en la media móvil trimestral de las anomalías de presión atmosférica en Tahití y Darwin, indican una alteración en el campo de presión del Pacífico ecuatorial característico de un evento El Niño – Oscilación del Sur, **Figura 2**. Adicionalmente, esta condición anómala está empezando a favorecer la aparición de anomalía de viento del oeste en el extremo occidental del Pacífico ecuatorial, **Figura 3**.

El índice de ocurrencia de eventos ENOS (IE3.4) se mantuvo en el rango de característico de condiciones neutrales, aunque cerca del límite de condiciones características de eventos ENOS de calentamiento, **Figura 4**.

La Oscilación Cuasi-Bienal (QBO) exhibió un leve incremento de las velocidades altas del este, **Figura 5**. El Océano Atlántico Tropical mostró un incremento de la anomalía de temperatura de aproximadamente $+0,6^{\circ}\text{C}$ respecto al mes anterior, llegando a $+0,2^{\circ}\text{C}$, **Figura 6**.

La anomalía de OLR indica que aun hay más convección de lo normal sobre el extremo occidental del Pacífico Ecuatorial, en tanto que en la región central y oriental prevalecieron condiciones anómalas asociadas a subsidencia y el desarrollo de poca nubosidad. En Venezuela, se apreciaron condiciones normales con algunas zonas con anomalías negativas que indican que hubo más cobertura nubosa (posible convección) de lo normal en el extremo sur - occidental, **Figura 7**.

Las anomalías de potencial de velocidad y de circulación divergente en 200 hPa observadas durante el mes son consistentes con las anomalías observadas de OLR en el Pacífico Ecuatorial. De igual manera en Venezuela, el viento divergente observado muestra condiciones asociadas a débil subsidencia en el extremo norte - oriental del país,



aunque el potencial estuvo dentro de lo normal. En tanto, que hacia el sur -occidente hubo predominio de potenciales negativos y viento divergente, **Figura 8**.

La circulación meridional divergente exhibió condiciones anómalas de subsidencia en Venezuela y el Caribe (0° - 15° N) y entre 1000 y 200 hPa. El viento zonal medio mantuvo valores relativamente normales sobre Venezuela, **Figura 9**. La circulación zonal divergente observada sobre Venezuela (60° W – 70° W) tuvo un comportamiento débilmente subsidente por encima de 800 hPa., adicionalmente también se observó un patrón débil divergente en aproximadamente 60° O que correspondería con el extremo oriental del país, **Figura 10**.

El contenido de agua precipitable sobre Venezuela estuvo en el promedio en todo el país, **Figura 11**. El contenido de humedad en 500 hPa mantuvo condiciones de normales a ligeramente más secas en el extremo norte del país, en tanto que hacia el sur y la porción norte – occidental, se observó mayor contenido de humedad, sin que esta haya sido excepcionalmente mayor a lo normal, **Figura 12**.

El campo de espesor entre 850 hPa y 200 hPa mantuvo condiciones levemente anómalas, caracterizado por un espesor ligeramente más grueso de lo normal, esto es consistente con lo observado en las circulaciones zonal y meridional, en donde se apreció un patrón débil subsidente mayormente sobre el extremo norte - oriental del país, **Figura 13**. La presión atmosférica en superficie estuvo dentro de lo normal en la mayor parte del país, aunque en el extremo norte - occidental estuvo por debajo de lo normal, **Figura 14**.

Durante el mes de febrero, como consecuencia del debilitamiento del vórtice polar del hemisferio norte, se produjeron cambios en la circulación, lo que trajo como consecuencia descenso de la temperatura en algunas regiones del país. Este debilitamiento del vórtice favoreció el desplazamiento hacia del sur de masas de aire polar, produciendo caída de la temperatura en la costa este de EE.UU., **Figura 15**. Adicionalmente, en el Océano Atlántico norte condiciones anómalas cálidas prevalecieron durante el mes, **Figura 16 (superior)**. Este contraste térmico entre Norte América (frío y estable) y el Océano Atlántico norte (cálido e inestable) favoreció el desarrollo de un patrón anómalo de baja presión en el Atlántico norte, alterando la circulación y favoreciendo la llegada de aire frío al país.



El análisis anterior permite concluir que durante el mes de febrero prevaleció un patrón subsidente en la alta atmósfera que pudo haber limitado el desarrollo de nubosidad, en especial sobre la porción norte – oriental del país y el Caribe, donde la información analizada indica el predominio de un patrón divergente en niveles bajos (60° O). En general los indicadores analizados tienden a mostrar una atmósfera más estable de lo normal. Sin embargo, el contraste observado en el contenido de humedad en 500 hPa entre la porción norte – oriental y la sur – occidental sugiere que el extremo sur – occidental del país estuvo influenciado por condiciones favorables para el desarrollo de nubosidad.

El Pacífico ecuatorial mostró durante febrero, condiciones típicas de un evento El Niño de débil intensidad, que sin embargo, careció de una respuesta atmosférica clara, por lo que ha sido difícil establecer relaciones entre las condiciones observadas sobre el territorio nacional, arriba descritas, y el comportamiento que el océano Pacífico ecuatorial ha venido teniendo.

El QBO se mantuvo con velocidades altas del este, lo cual estadísticamente no está relacionado con cambios significativos de la precipitación. Con lo cual no se considera que haya tenido influencia sobre régimen de precipitación durante febrero. Los cambios inducidos en la circulación en el Atlántico, provocados por el debilitamiento del vórtice polar, aunado a condiciones más cálidas de lo normal en el Atlántico Norte parecen haber favorecido la caída de la temperatura en latitudes bajas durante el mes.

En consecuencia, las condiciones observadas indican la persistencia de un patrón subsidente que favoreció el déficit de lluvia en la mayor parte del país a excepción de la porción sur occidental del país donde se observó lluvia por encima de lo normal en algunas localidades de esta región. Adicionalmente, el descenso de la temperatura observado durante el mes en algunas regiones del país es probable que se haya debido al debilitamiento del Vórtice Polar y a un Atlántico Norte más cálido de lo normal.

2.- CONDICIONES ATMOSFÉRICAS LOCALES

En general el Territorio Nacional se mantuvo con nubosidad parcial y algunas áreas nubladas que originaron precipitaciones sobre los estados Táchira, Mérida, Guárico, Apure y Portuguesa. Así mismo en el Distrito Capital, Barinas, Zulia, Amazonas y Bolívar se presentaron lluvias aisladas. El resto del país se observó sin precipitaciones.

2.1- PRECIPITACIÓN

El mes de febrero está enmarcado dentro de la temporada seca para Venezuela, por lo cual las precipitaciones son escasas, sin embargo se presentaron lluvias ocasionales. En la mayor parte del país predominó el déficit de precipitación, especialmente en las regiones Oriental, Centro Occidental y Central. Mientras que en las regiones de los Andes, Llanos Centrales y Occidentales se presentaron anomalías positivas significativas, como se muestra en la figura 19 y tabla 2.

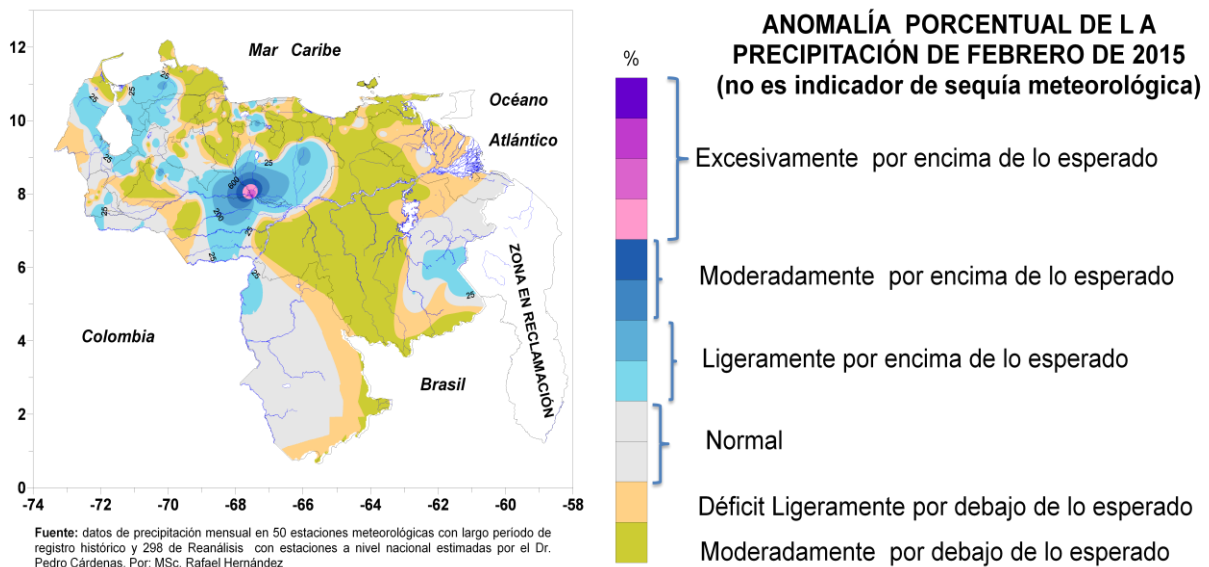


Figura 19. Anomalía de la precipitación para febrero de 2015

Tabla 2. Cantidades de lluvia mensual, promedio y anomalías del mes de febrero 2015 por regiones de la República Bolivariana de Venezuela

Región	Estado	Estaciones	Serial	Longitud	Latitud	Mensual	Promedio	VP (%)
Los Andes	Mérida	El Vigía	80437	-71,630	8,608	173,0	138,9	25
		Mérida	80438	-71,157	8,599	68,0	48,9	39
	Táchira	El Zumbador	4072	-72,084	7,984	14,8	34,9	-58
		El Cobre	3094	-72,050	8,033	29,0	33,2	-13
		Lobatera	4014	-72,246	7,950	51,4	23,8	116
		San Antonio del Táchira	80447	-72,450	7,850	66,0	37,5	76
		Sto Domingo del Táchira	80475	-72,067	7,583	97,0	47,9	103
Trujillo	Trujillo	2156	-70,426	9,370	81,2	48,3	68	
	Valera	2114	-70,585	9,342	3,0	53,6	-94	
Central	Aragua	Maracay	80413	-67,650	10,250	0,0	3,8	-100
	Carabobo	Valencia	80472	-67,996	10,191	2,0	6,2	-68
	Vargas	Maiquetía	80415	-66,980	10,603	14,0	29,0	-52
	Miranda	La Carlota	80416	-66,880	10,500	15,0	17,7	-15
		La Veraniega	5037	-66,760	10,140	5,6	14,9	-62
	Distrito Capital	Cagigal	531	-66,921	10,510	32,4	15,9	104
Centro Occidental	Falcón	Coro	80403	-69,679	11,418	1,0	19,8	-95
		Mene Mauroa	1029	-70,998	10,682	15,8	15,0	5
		Pueblo Nuevo de la Sierra	279	-69,524	11,202	10,8	57,3	-81
	Lara	Barquisimeto	80410	-69,272	10,065	2,2	10,4	-79
	Yaracuy	Central Matilde	1381	-68,870	10,144	4,2	11,0	-62
		Urachiche	1371	-69,011	10,147	0,0	8,7	-100
Llanos Centrales	Guárico	Biológica los Llanos	3400	-67,317	8,883	5,4	2,9	87
		Calabozo	80442	-67,417	8,933	7,0	3,3	114
		San Juan de Los Morros	80431	-67,362	9,920	24,0	4,9	388
		Valle de La Pascua	2589	-66,000	9,217	6,5	3,3	100
Llanos Occidentales	Apure	San Fernando de Apure	4404	-67,470	7,894	110,0	3,3	3220
		Guasdalito	80448	-70,750	7,250	5,0	17,5	-71
	Portuguesa	Barinas	80440	-70,250	8,600	70,0	10,5	570
		Acarigua	80427	-69,233	9,550	32,0	12,9	149
Zulia	Zulia	Guanare	80428	-69,733	9,017	54,0	16,1	236
		Maracaibo	80407	-71,600	10,633	0,0	3,0	-100
		Mene Grande	80425	-70,933	9,817	51,0	31,3	63
		Manuelote	1000	-72,223	10,943	0,4	15,0	-97
		El Diluvio	1032	-72,399	10,618	17,2	30,0	-43
		Hacienda Manantialitos	1019	-72,231	10,777	29,8	15,0	99
		La Cañada	80476	-71,650	10,517	1,0	1,7	-40
Oriental	Nueva Esparta	Porlamar	80421	-63,967	10,917	2,0	27,5	-93
	Anzoátegui	Barcelona	80419	-64,683	10,450	1,0	2,2	-54
		Cumaná	80420	-64,117	10,450	4,0	5,8	-31
	Sucre	Guiría	80423	-62,300	10,583	3,0	19,4	-85
		Cocollar	1873	-63,825	10,179	0,0	28,0	-100
Monagas	Maturín	80435	-63,183	9,750	27,0	38,3	-29	
Sur	Amazonas	Atabapo	9405	-67,667	4,000	133,1	100,2	33
		San Juan de Manapiare	9410	-66,167	5,233	3,2	27,0	-88
		Pto. Ayacucho	6421	-67,633	5,683	47,2	36,7	29
		Río Negro	9401	-67,050	1,933	231,5	209,5	10
	Bolívar	Arekuna	6928	-62,883	6,517	35,5	35,0	2
		Caruaiken	7261	-61,783	4,900	17,2	91,9	-81
		Cdad. Bolívar	80444	-63,537	8,130	4,0	13,5	-70
		Santa Elena de Uairén	80462	-61,117	4,600	9,0	65,5	-86
		Karum	6940	-63,400	5,317	10,8	73,9	-85
		La Paragua	5887	-63,333	6,833	26,4	27,2	-3
		Kamarata	6943	-62,336	5,739	52,7	41,1	28
		Kavanayen	6933	-61,717	5,583	165,4	57,9	185
		Macagua	-	-62,655	8,291	20,3	26,8	-24
		Uriman	6931	-62,683	5,350	94,3	67,8	39
		Wonken	33	-62,728	4,981	8,5	89,0	-90
Yuruani	7921	-61,933	5,017	6,9	45,8	-85		

FUENTE: Ministerios del Poder Popular el Ecosocialismo, Hábita y Vivienda (MPPEHV), Servicio de Meteorología de la Aviación (SERMETAVIA), Electrificación del Caroní C.A. (EDELCA)

231,5 Mayor valor de precipitación registrado en todo el país.

NOTA:

Datos de precipitación preliminares

Precipitación expresada en milímetros (mm). Un milímetro equivale a un litro por metro cuadrado

Valores negativos en anomalías porcentual indican déficit/ valores positivos indican superávit pluviométrico



A continuación se describe para cada una de las regiones de Venezuela, el comportamiento del régimen pluviométrico a partir de gráficos comparativos de la precipitación registrada en Febrero de 2015, con respecto al promedio histórico 1969-2013 de cincuenta y un (58) estaciones meteorológicas distribuidas sobre el territorio nacional.

REGIÓN CENTRAL (Distrito Capital, Aragua, Carabobo, Vargas y Miranda)

- En la región prevalecieron las anomalías negativas de precipitación (valores registrados por debajo del promedio), no obstante en el Observatorio Cagigal (Distrito Capital) se registraron 32,4 mm de precipitación que provocó superávit pluviométrico superior al 100%.
- En Valencia (estado Carabobo) se registraron 2,0 mm, Maiquetía (estado Vargas) 14,0 mm, la Carlota (estado Miranda) 15,0 mm y en la Veraniega (estado Miranda) 5,6 mm, representando déficit pluviométrico de 68%, 52%, 15% y 62%, respectivamente. En Maracay (estado Aragua) no se registró precipitación.
- Aunque existió déficit pluviométrico en gran parte de la región se deben considerar los valores promedios del mes de febrero para las estaciones emplazadas en ella, los cuales son de 3,8 mm Maracay (estado Aragua), 6,2 mm Valencia (estado Carabobo), 29,0 mm Maiquetía (estado Vargas), 17,7 mm La Carlota (estado Miranda), 14,9 mm La Veraniega (estado Miranda) y 15,9 mm Observatorio Cagigal (Distrito Capital).
- La precipitación máxima en 24 horas fue 32,2 mm y ocurrió en Cagigal el día 12 de febrero.
- En la región se presentaron de 2 a 8 días con precipitación.

REGIÓN DE LOS ANDES (Mérida, Táchira y Trujillo)

- Durante el mes de febrero predominó el superávit pluviométrico (valores registrados por encima del promedio), especialmente en el estado Táchira donde se presentaron anomalías positivas que superaron el 100%.
- Los máximos pluviométricos ocurrieron en el Vigía (estado Mérida) con 173,0 mm, Mérida (estado Mérida) 68,0 mm, Lobatera (estado Táchira) 51,4 mm, San Antonio



del Táchira, (estado Táchira) 66,0 mm, Santo Domingo del Táchira (estado Táchira) 97,0 mm y Trujillo (estado Trujillo) 81,2 mm valores que representaron superávit de 25%, 39%, 116% y 83%, respectivamente.

- En el Zumbador (estado Táchira) 14,8 mm, El Cobre (estado Táchira) 29,0 mm y Valera (estado Trujillo) con 3,0 mm representando déficit pluviométrico de 58%, 13% y 94% respectivamente.
- La precipitación máxima en 24 horas fue de 24,0 mm y ocurrió en El Cobre el día 6 de febrero.
- En la región se presentaron entre 5 y 8 días con pluviosidad.

REGIÓN CENTRO OCCIDENTAL (Falcón, Lara y Yaracuy)

- Durante el mes de febrero prevalecieron las anomalías negativas de precipitación (valores registrados por debajo del promedio), excepto en Mene Mauroa (estado Falcón) donde se presentó un ligero superávit de 5%.
- En la ciudad de Coro (estado Falcón) fue donde se registró el más bajo déficit pluviométrico de 95%, con un valor de precipitación de 1,0 mm, seguido de Pueblo Nuevo de la Sierra (estado Falcón) con 81% y registrando 10,8 mm de precipitación, Barquisimeto (estado Lara) con 79% con una precipitación de 2,2 mm y Central Matilde (estado Yaracuy) con 62% y un registro de precipitación de 4,2 mm. La estación de Urachiche (estado Yaracuy) no registro precipitación.
- La precipitación máxima en 24 horas fue de 3,0 mm y ocurrió en Central Matilde el día 13 de febrero.
- En la región se presentaron entre 2 y 3 días con pluviosidad.

REGIÓN LLANOS CENTRALES (Guárico y Cojedes)

- Durante el mes de febrero prevalecieron las anomalías de precipitación positivas (valores registrados por encima del promedio), con valores hasta de 5 veces el promedio.
- En la estación Biológica de Los Llanos (estado Guárico) registró 5,4 mm, Calabozo (estado Guárico) registró 7,0 mm, San Juan de los Morros (estado Guárico) registró 24,0 mm y Valle de la Pascua (estado Guárico) registró 6,5 mm representando un 87%, 114%, 388% y 100% por encima del promedio respectivamente.



- La precipitación máxima en 24 horas fue de 5,8 mm y ocurrió en Valle de la Pascua el día 11 de febrero.
- En la región se presentaron entre 2 y 3 días con pluviosidad.

REGIÓN LLANOS OCCIDENTALES (Apure, Barinas y Portuguesa)

- Durante el mes de febrero predominó un superávit en el registro de precipitación (valores registrados por encima del promedio), en la mayoría de las estaciones de la región.
- Sólo la estación de Guasdualito (estado Apure) registró un déficit pluviométrico de un 71% con un registro de 5,0 mm.
- La estación de San Fernando de Apure (estado Apure) registró 110,0 mm, Barinas (estado Barinas) registró 70,0 mm, Acarigua (estado Portuguesa) registró 32,0 mm y Guanare (estado Portuguesa) registró 54,0 mm representando un 3220%, 570%, 149% y 236% de superávit respectivamente.
- La precipitación máxima en 24 horas fue de 98,4 mm y ocurrió en San Fernando de Apure el día 13 de febrero.
- En la región se presentaron 2 con pluviosidad.

REGIÓN ZULIANA (Zulia)

- Durante el mes de febrero prevalecieron las anomalías negativas de precipitación (valores registrados por debajo del promedio), excepto en Mene Grande (estado Zulia) registró 51,0 mm y Hacienda Manantialitos (estado Zulia) registró 29,8 mm que representan un superávit pluviométrico de 63% y 99% respectivamente.
- En la estación de Manuelote (estado Zulia) registró 0,4 mm, El Diluvio estado Zulia) registró 17,2 mm y La Cañada registró 1,0 mm indicando déficit pluviométrico de 97%, 43% y 40% respectivamente.
- En la estación de Maracaibo no se registro precipitación.
- La precipitación máxima en 24 horas fue de 29,8 mm y ocurrió en Hacienda Manantialitos el día 12 de febrero.
- En la región se presentaron entre 1 y 11 días con pluviosidad.



REGIÓN ORIENTAL (Delta Amacuro, Nueva Esparta, Anzoátegui, Sucre y Monagas)

- Durante el mes de febrero prevalecieron anomalías de precipitación negativas, es decir, valores registrados por debajo del promedio en todos los estados que conforman la región. En Cocollar (estado Sucre) no registró precipitación.
- En la estación de Porlamar (estado Nueva Esparta) registró 0,2 mm, Barcelona (estado Anzoátegui) 4,0 mm, Güiría (estado Sucre) 3,0 mm y Maturín (estado Monagas) 27,0 mm, valores que representaron anomalías negativas de 93%, 54%, 31%, 85% y 29% respectivamente.
- La precipitación máxima en 24 horas fue de 0,2 mm y ocurrió en San Rafael de Laya el día 2 de febrero.
- En la región se presentó 1 día con pluviosidad.

REGIÓN SUR (Amazonas y Bolívar)

- Durante el mes de febrero esta región prevaleció con un déficit pluviométrico, al presentar en 9 estaciones valores por debajo de lo normal de las 15 estaciones que conforman la región.
- En San Juan de Manapiare (estado Amazonas) registró 3,2 mm, Caruaiken (estado Bolívar) 17,2 mm, Ciudad Bolívar (estado Bolívar) 4,0 mm, Santa Elena de Uairén (estado Bolívar) 9,0 mm, Karum (estado Bolívar) 10,8 mm, La Paragua (estado Bolívar) 26,3 mm, Macagua (estado Bolívar) 20,2 mm, Wonken (estado Bolívar) 8,5 mm y Yuruani (estado Bolívar) 6,9 mm. (valores registrados por encima del promedio) sólo en el estado Amazonas, valores que representan anomalías negativas de 88%, 81%, 70%, 86%, 85%, 3%, 24%, 90% y 85% respectivamente.
- Aunque existió déficit pluviométrico en gran parte de la región en las estaciones de Atabapo (estado Amazonas) registró 133,1 mm, en Puerto Ayacucho (estado Amazonas) 47,2 mm, en Río Negro (estado Amazonas) 231,5 mm, en Arekuna (estado Bolívar) 35,5 mm, en Kamarata (estado Bolívar) 52,7 mm, Kavanayen (estado Bolívar) 165,4 mm, Uriman (estado Bolívar) 67,88 mm representando un superávit pluviométrico de 33%, 29%, 10%, 2%, 28%, 185% y 39% respectivamente.

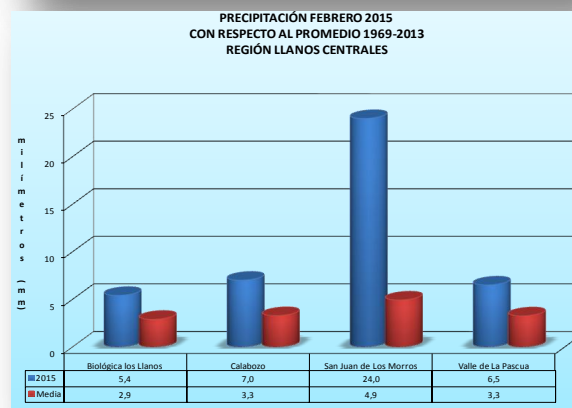
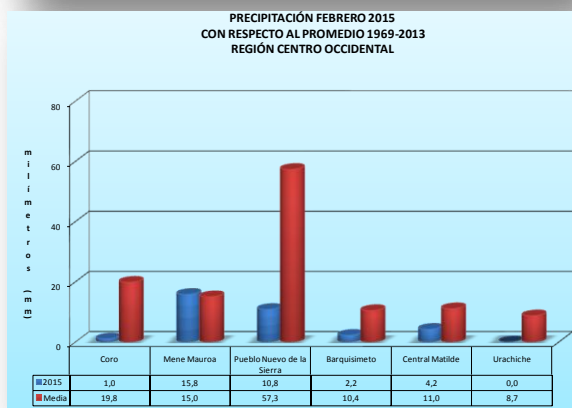
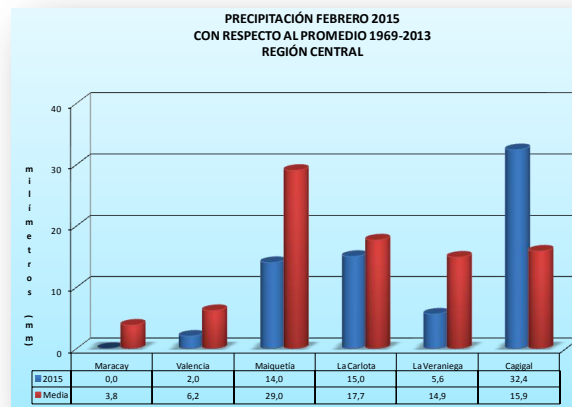
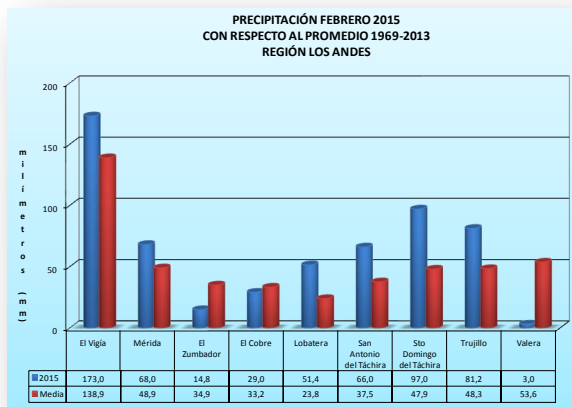


- La máxima precipitación en 24 horas fue de 100,0 mm y ocurrió el día 11 de marzo en Kavanayen.
- En la región se presentaron entre 2 y 23 días con pluviosidad.

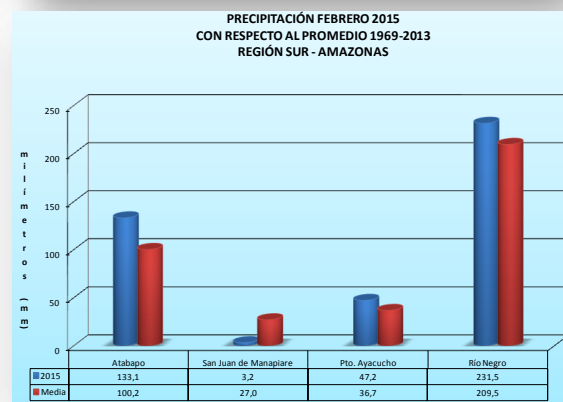
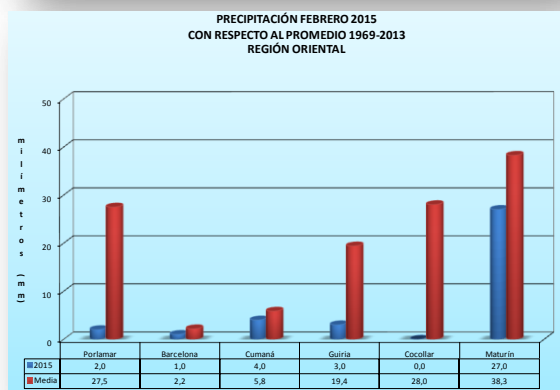
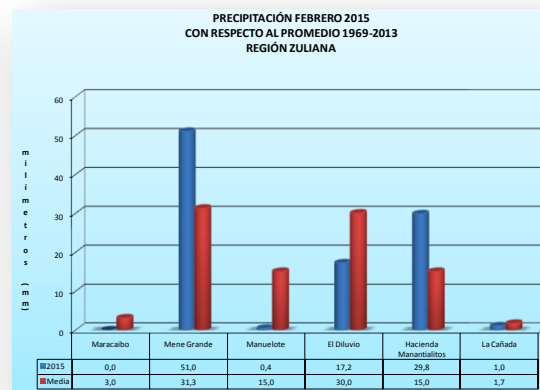
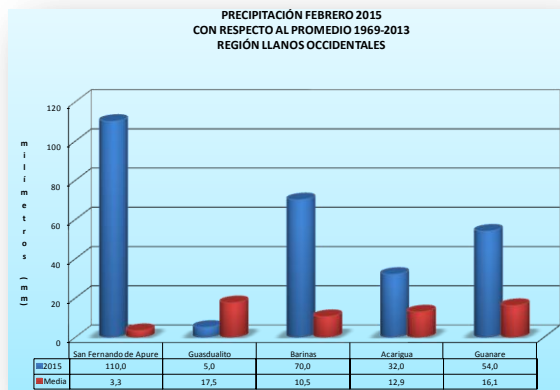
El máximo superávit pluviométrico del Territorio Nacional ocurrió en San Fernando de Apure (estado Apure) registrando 107,2 mm de un promedio mensual de 3,3 mm. Sin embargo, fue en Kavanayen donde registró el valor máximo en 24 horas de 100,0 mm.

Los mayores valores de precipitación del mes ocurrieron principalmente durante los días 10 al 14 de febrero.

Comparación de la Precipitación de Febrero 2015 con respecto al Promedio 1969-2013



Comparación de la Precipitación de Febrero 2015 con respecto al Promedio 1969-2013





PRECIPITACIÓN FEBRERO 2015
CON RESPECTO AL PROMEDIO 1969-2013
REGIÓN SUR - BOLÍVAR

